

## اصلاح خاک‌های متورم‌شونده به روش الکترواسمزی

سید محمدعلی زمردیان<sup>۱\*</sup>، خلیل خرد<sup>۲</sup>

۱. دانشیار بخش مهندسی آب دانشگاه شیراز

۲. کارشناس ارشد ژئوتکنیک دانشگاه آزاد اسلامی واحد استهبان

(تاریخ دریافت: ۱۳۹۰/۱۱/۱۱ - تاریخ تصویب: ۱۳۹۲/۴/۱۹)

### چکیده

یکی از مشکلات اجرایی بسیار مهم در ساخت کانال‌های آبیاری وجود انواع خاک‌های مسئله‌دار در ساختگاه کانال‌هاست. اگر مطالعات لازم ژئوتکنیکی بر خاک بستر کانال انجام نپذیرد، خرایی‌های گسترده‌ای پدید خواهد آمد. از انواع خاک‌های مسئله‌دار متداول خاک‌های متورم‌شونده است. یکی از روش‌های نوین تقویت و اصلاح خاک‌های محل بهسازی الکترواسمزی است. در این تحقیق نمونه خاک با پتانسیل تورم‌پذیری بالا تهیه و در دستگاه نیمه‌صرایی متراکم گردید و تأثیر فرایند الکترواسمزی در زمان‌های اصلاحی ۱ و ۲ و ۷ و ۲۸ روزه با ولتاژ مستقیم (DC) تحت اختلاف پتانسیل‌های ۱۲ و ۲۴ و ۴۸ ولت بررسی شد. نتایج مطالعات نشان داد استفاده از روش الکترواسمزی برای اصلاح خاک سبب کاهش پتانسیل تورم‌پذیری خاک در اطراف قطب مثبت (آند) بین ۵۱ تا ۸۵ درصد می‌شود. نتایج آزمایش‌های شیمیایی از کاهش ۲۷ تا ۴۶ درصدی PH در حوالی آند حکایت دارد. بهبود مشخصات فیزیکی و مکانیکی خاک، نظری افزایش مقاومت فشاری تقریباً تا ۸ برابر بیشتر از مقاومت فشاری نمونه اولیه، از دیگر نتایج این تحقیق بود که باعث افزایش مقاومت فشاری خاک بستر کانال‌های آبیاری بهسازی شده با الکترواسمزی می‌شود و این امر می‌تواند به اینمنی و پایداری بیشتر کانال‌ها کمک کند.

**کلیدواژه‌ان:** الکترواسمزی، بهسازی، پتانسیل تورم، خاک‌های متورم‌شونده، مقاومت فشاری.

خاک؛ ۲. ترکیب سیال؛ ۳. شرایط تراکم خاک؛ ۴. شرایط آزمایش؛ ۵. تأثیر دست‌خوردگی نمونه.

پیوند میان گرادیان‌های هیدرولیکی-شیمیایی-الکتریکی باعث بوجود آمدن انواع مختلف پدیده‌های الکتروسینتیک در خاک می‌شود (Acar, 1992). یکی از روش‌های اصلاح خاک زهکشی الکتروسینتیکی است. در توصیف جنبه‌های گوناگون پدیده الکتروسینتیک بر اساس نوع ذرهای که در میدان الکتریکی حاصل از جریان حرکت می‌کند می‌توان به مفاهیم الکتروفورزیسی و انتقال الکترویونی و الکترواسمزی، که از الکتروسینتیک مشتق می‌شود، اشاره کرد (Mitchell, 2005). به حرکت سیال نسبت به یک ذره ساکن تحت اثر پتانسیل الکتریکی الکترواسمزی گفته می‌شود. در پنجاه سال اخیر الکترواسمزی بهمنزله یک تکنیک عملی ثبت برای بهبود مقاومت و تغییر شکل‌ها در خاک‌های ریزدانه و سست به کار رفته است. Cassagrande (1947) نخستین کسی بود که از این روش برای افزایش مقاومت باربری خاک در کشور آلمان استفاده کرد.

Bjerram *et al.* (1967) در نروژ از الکترواسمزی برای

تحکیم رس حساس استفاده کردند. هانسبو در سال ۱۹۷۰ از این روش برای ثبت خاک استفاده کرد. Morris *et al.* (1985)

### مقدمه

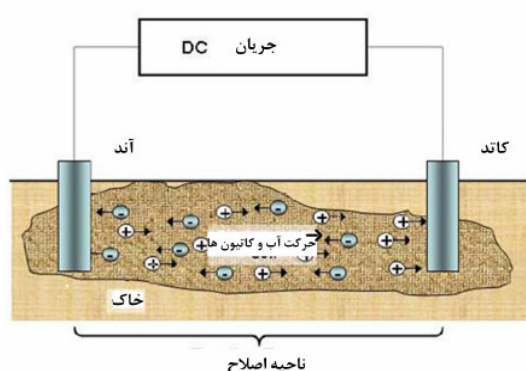
در اکثر پژوهه‌های عمرانی، مانند راهسازی و سدسازی و کانال‌های آبرسانی و شالوده‌های ساختمان‌ها و شیروانی‌ها، با انواع خاک‌ها با مشخصات فنی متفاوت مواجهیم. بسیاری از این خاک‌ها برای احداث سازه مناسب نیستند. از این خاک‌ها می‌توان خاک‌های متورم‌شونده را نام برد. خاک‌های متورم‌شونده خاک‌هایی هستند که در اثر افزایش رطوبت حجم آن‌ها به صورت شایان توجه افزایش می‌یابد. در واقع می‌توان گفت خاک‌های متورم‌شونده کاملاً مخالف عمل تحکیم عمل می‌کنند؛ یعنی این خاک‌ها، به جای ازدست دادن آب و کاهش حجم، آب را جذب می‌کنند و حجم آن‌ها افزایش پیدا می‌کند. در حالت عمومی خاک‌های مستعد تورم به ترتیب دارای حد مایع و حد خمیری بزرگ‌تر از حدود ۴۰ و ۱۵ است (Das, 1984). سختی این خاک‌ها در حالت خشک بسیار زیاد است. معمولاً این خاک‌ها PH بالایی دارند. خاک‌های اسیدی عمدتاً پتانسیل تورم ناچیزی دارند (Askari and Fakher, 1994). مجموعه عواملی که بر پتانسیل تورم خاک تأثیر می‌گذارند عبارت‌اند از ۱. ترکیب

\* نویسنده مسئول: mzomorod@shirazu.ac.ir

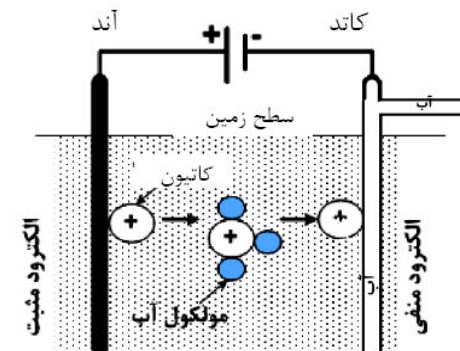
بهبود مشخصات تحکیم و افزایش فشار پیشتحکیمی، و بهبود مشخصات حدود آتربرگ، CBR و کاهش افت پتانسیل در آند، بحث شده است. برغم سابقه نسبتاً طولانی کاربرد الکترواسمزی در اصلاح رفتار فیزیکی و مکانیکی خاک‌ها، کاربرد این پدیده در اصلاح خاک‌های متورم‌شونده سابقه ندارد. در این مقاله به کاربرد فرایند الکترواسمزی در تثبیت خاک‌های رسی با متورم‌شونده توجه شد. بنابراین، پتانسیل تورم‌پذیری خاک با درنظرگرفتن متغیرهای ولتاژ و زمان اصلاح کنترل گردید. پتانسیل تورم خاک تحت ولتاژهای ۱۲ و ۲۴ و ۴۸ در زمان‌های ۱ و ۲ و ۷ و ۲۸ روزه بررسی شد.

اصول روش الکترواسمزی در خاک‌های ریزدانه ضریب نفوذ‌پذیری و همچنین تراوش در خاک‌های رسی و ریزدانه در مقایسه با خاک‌های دانه‌ای خیلی کمتر است. اما زهکشی و نفوذ‌پذیری را می‌توان به کمک جریان برق مستقیم افزایش داد. این پدیده نتیجه جذب کاتیون‌های تشکیل‌دهنده ساختمان رس‌ها بهوسیله مولکول‌های دوقطبی آب است. اصل این پدیده در شکل ۱ می‌آید.

برای پایدارساختن یک سد روی خاک رسی- سیلتی نرم و حساس تحقیقاتی در زمینه الکترواسمزی انجام دادند. در سال ۱۹۹۵ Milligan از این روش برای تقویت ظرفیت اصطکاکی شمع‌ها استفاده کرد. همچنین Burnotte *et al.* (2004) تقویت محل تماس الکترود با خاک و کنترل تلفات انرژی در محل تماس الکترودها با خاک و اثر دما را در آزمایش‌های صحرایی ارزیابی کردند. همچنین Cundy *et al.* (2005) با نصب یک جفت الکترود در خاک و برقراری شدت میدان الکتریکی در آن و ایجاد دیواره‌ای غنی‌شده از آهن بین الکترودها توانستند آسودگی‌ها را خارج و تثبیت و پایداری خاک را فراهم کنند. Ou *et al.* (2009) در تایوان تست الکترواسمزی شیمیایی را در محل با تزریق محلول کلرید کلسیم و پس از آن محلول سیلیکات سدیم انجام دادند که باعث تقویت خاک رسی سیلتی نرم و کاهش افت پتانسیل شد و با تغییر قطبیت نرمال و معکوس میزان نشت زمین و ولتاژ و جریان خاک حجم آب خارج شده از کاتد را بررسی کردند. اغلب مطالعات یادشده بر مشخصات مکانیکی خاک تکیه دارد و در آن‌ها از بهبود مقاومت بر بشی زهکشی نشده،



شکل ۱. اصول الکترواسمزی



خاک محکم می‌شود. اگر کاتد هم از جنس ناتراوا باشد، جریان آب از آند به کاتد فشار منفذی منفی در خاک ایجاد می‌کند. این فشار منفذی منفی با گذشت زمان افزایش می‌یابد و بهسبب ثابت‌بودن مجموع تنش در خاک تنش مؤثر افزایش می‌یابد. بنابراین با افزایش تنش مؤثر خاک محکم و فشرده می‌شود.

روش اندازه‌گیری پتانسیل تورم و فشار تورم خاک در این تحقیق آزمایش پتانسیل تورم مطابق استاندارد ASTM D-4546 انجام گرفت. طبق این استاندارد تورم عبارت است از نسبت بالاًمدگی (افزایش ارتفاع) سنتونی از خاک پس از جذب آب در مقایسه با ارتفاع اولیه. در روش‌های ارزیابی مستقیم تورم برای اندازه‌گیری فشار تورم غالباً از دستگاه ادئومتر (تحکیم)

وقتی در خاک جریان الکتریسیته برقرار می‌شود کاتیون‌ها به طرف کاتد (لوله فلزی مشبك) حرکت می‌کنند. مولکول‌های آب بهسبب خاصیت دوقطبی بودن به کاتیون‌ها جذب و همراه آن‌ها به طرف کاتد کشیده می‌شوند. وقتی کاتیون‌ها به کاتد می‌رسند آب آزاد می‌شود و فشار ناشی از انباستگی آب در کاتد سبب زهکشی آب به بیرون می‌گردد. این عمل الکترواسمزی نامیده می‌شود. هنگامی که پتانسیل DC برای خاک ریزدانه به کار می‌رود جریانی در جهت گرادیان ولتاژ بهوجود می‌آید. بهبود خاک به روشنی کاربردی است از یک آند ناتراوا صورت می‌گیرد؛ بدین معنی که آب موجود در خاک وارد آند نمی‌شود. آب موجود در خاک بهطور تئوری در قسمت کاتد از بین می‌رود و با برطرف شدن آب موجود در خاک تا اندازه‌ای

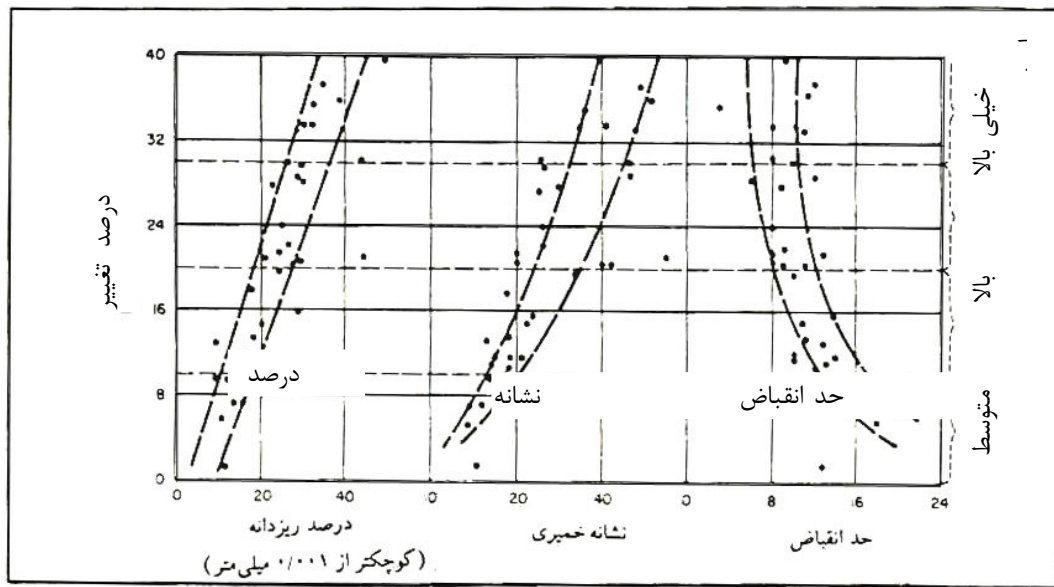
جدول ۱. تفسیر کیفی پتانسیل تورم بر اساس شاخص تورم کمیته خاک و سگ (Chen, 1975) ASTM

پتانسیل تورم	شاخص تورم (EI)
بسیار کم	۰ تا ۲۰
کم	۲۱ تا ۵۰
متوسط	۵۱ تا ۹۰
زیاد	۹۱ تا ۱۲۰
بسیار زیاد	بیشتر از ۱۲۰

در طبقه‌بندی USBR، که هولتز و گیبس ارائه کردند، اثر عوامل متعدد به طور هم‌زمان در نظر گرفته شد. این طبقه‌بندی در جدول ۲ و منحنی‌های شکل ۲ می‌آید.

جدول ۲. طبقه‌بندی کیفی خاک‌های متورم‌شونده سیستم (Chen, 1975) USBR

درصد محتویات کلوریدی (کوچکتر از میکرون)	شاخص خمیری	حد انقباض	پتانسیل تورم محتمل	درجۀ تورم
بیشتر از ۲۸	بیشتر از ۳۵	کمتر از ۱۱	بیشتر از ۳۰	بسیار زیاد
۲۰ تا ۱۳	۴۱ تا ۲۵	۱۲ تا ۷	۳۰ تا ۲۰	زیاد
۲۳ تا ۱۳	۲۸ تا ۱۵	۱۶ تا ۱۰	۳۰ تا ۱۰	متوسط
کمتر از ۱۵	کمتر از ۱۸	بیشتر از ۱۵	کمتر از ۱۰	کم



شکل ۲. طبقه‌بندی تورم خاک بر اساس پیشنهاد هولتز و گیبس (Chen, 1975)

اصفهان، که پتانسیل تورم بالایی دارد، تهیه شد. به‌منظور طبقه‌بندی خاک مورد مطالعه آزمایش‌های دانه‌بندی و تراکم و حدود آتربگ بر اساس استاندارد ASTM D422، ASTM D4318 و ASTM D698 می‌آید. نتایج آن در جدول ۳

## مواد و روش‌ها

### ویژگی‌های خاک بررسی شده

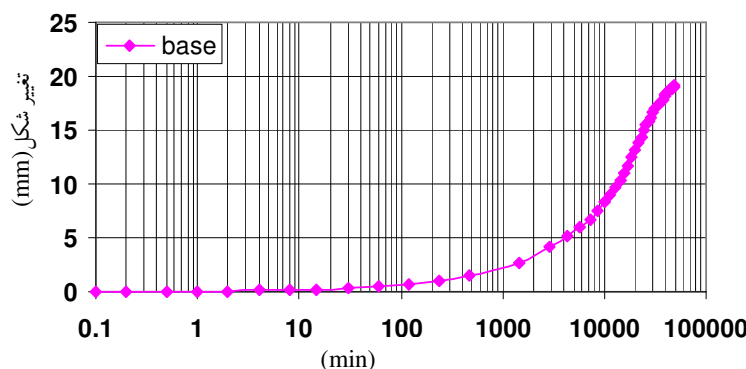
خاک رس متورم‌شونده استفاده شده در این تحقیق رس بنتونیت به رنگ سفید مایل به سبز بود. این خاک از قرضه‌های وسیع و گسترده خاک‌های متورم‌شونده معدن مهرجان، واقع در استان

جدول ۳. نتایج طبقه‌بندی و شاخص خمیری و رطوبت بهینه خاک متورم‌شونده مطالعه شده

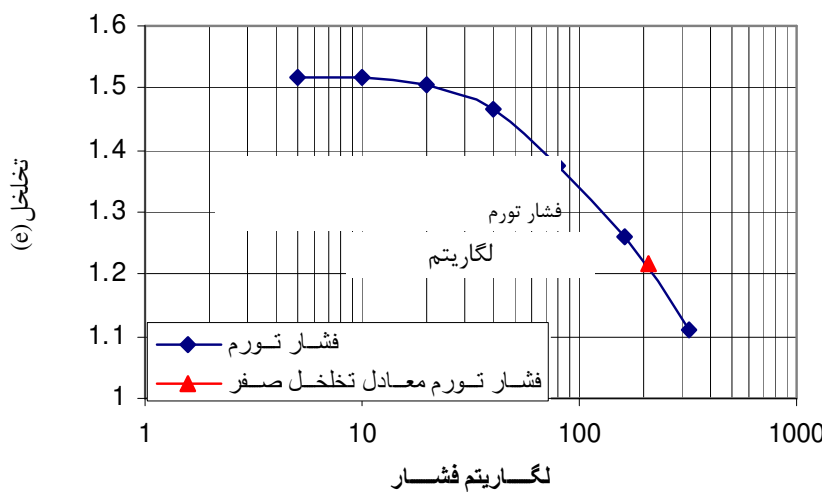
نوع خاک	حد روانی	حد خمیری	شاخص خمیری	رطوبت بهینه	طبقه‌بندی خاک
رس بنتونیتی	۲۱۱	۴۱	۱۷۰	%/۲۵	۱,۲۵ g/cm <sup>3</sup>

اولیه را با تخلخل اولیه ۱/۲۱۹ نشان می‌دهد. پتانسیل تورم، فشار تورم، و درصد تورم نمونه خاک استفاده شده که از نمودارهای بالا بدست آمده است در جدول ۴ می‌آید.

برای تعیین پتانسیل تورم و مشخصات فیزیکی خاک مطالعه شده آزمایش‌های اولیه با دستگاه ادمونتر انجام شد. شکل ۳ منحنی آزمایش تعیین پتانسیل تورم خاک مبنا را در مدت زمان ۳۱ روز (۴۶۴۰ min) و شکل ۴ منحنی فشار تورمی خاک



شکل ۳. منحنی پتانسیل تورم خاک اولیه مطالعه شده



شکل ۴. منحنی فشار تورم خاک مبنا قبل از اصلاح الکترواسمزی

جدول ۴. مشخصات پتانسیل تورم، فشار تورم، و درصد تورم خاک مورد نظر قبل از بهسازی

درصد تورم (%)	فشار تورم (kPa)	ارتفاع اولیه نمونه (mm)	پتانسیل تورم (mm)	ارتفاع فشار تورم (mm)
۲۰	۱۸,۲۶۷	۲۲۰	۹۱,۳۳	۲۰

(Chen, 1975) و با توجه به جدول ۲ و ۳ و ۴ و شکل ۲ در طبقه خاک‌های با درجه تورم بسیار زیاد قرار می‌گیرد.

همان‌طور که مشاهده می‌شود خاک اولیه مطالعه شده بر اساس طبقه‌بندی ASTM (جدول ۱) در طبقه خاک‌های با پتانسیل تورم پذیری بالا و بر اساس طبقه‌بندی USBR

استعداد متورم شدن خاک در اجتماع کاتیون‌ها با ظرفیت کمتر بیشتر است. مطابق تست‌های فیزیکی مشخص گردید خاک درجه تورم بالایی دارد. تست‌های شیمیایی نشان می‌دهد علت تورم بالا وجود مقدار زیاد سدیم در خاک است.

#### دستگاه استفاده شده در تحقیق

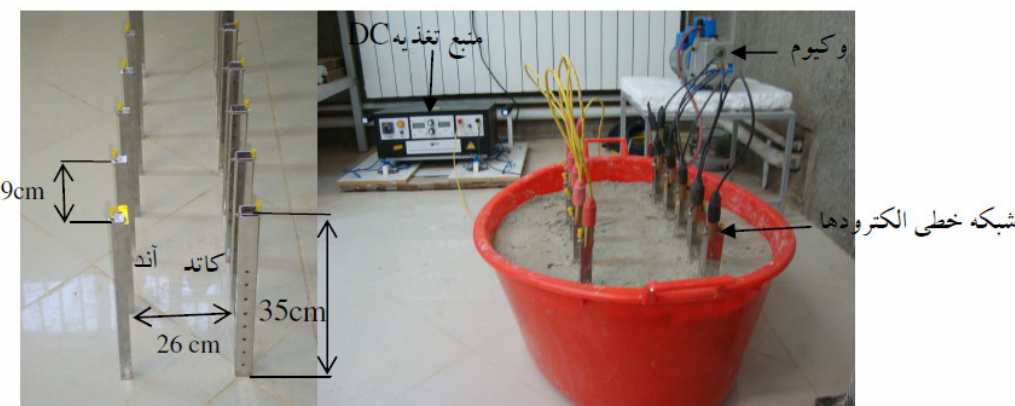
در شکل‌های ۵ و ۶ نمایی از دستگاه الکترواسمزی نیمه‌صحرایی طراحی شده برای این تحقیق دیده می‌شود. ابعاد سلول  $40\text{ cm} \times 40\text{ cm} \times 30\text{ cm}$  است. جنس الکترودهای مصرفی جهت کاتد و آند از فولاد زنگ‌زن است. الکترودهای مصرفی جهت آند سطح مقطع مربعی به ابعاد  $2\text{ cm}^2$  و الکترودهای مصرفی جهت کاتد سطح مقطع مربعی و مشبک به ابعاد  $3\text{ cm}^2$  دارند. منبع تغذیه DC استفاده شده دارای ولتاژ خروجی  $60-00$  ولت و جریان  $10\text{ آمپر}$  با مزیت ثابت‌ماندن ولتاژ در زمان بهسازی طولانی است. در این تحقیق از شبکه خطی با تعداد ۵ جفت الکترود با ۹ سانتی‌متر فاصله بین قطب‌های همان و  $26\text{ cm}$  سانتی‌متر فاصله بین قطب‌های غیر همان استفاده گردید تا امکان ایجاد یکنواختی بین خطوط شبکه‌های خطی میدان الکتریکی به وجود آید. همچنین برای تخلیه آب زهکش شده در کاتد (قطب منفی) از وکیوم استفاده شد.

جهت بررسی اثر جداگانه و هم‌زمان الکترواسمزی بر تورم خاک و تجزیه و تحلیل فرایندهای شیمیایی اتفاق افتاده، لازم بود آزمایش‌هایی بر عصاره اشباع خاک‌های تهیه شده و آب منفذی موجود در خاک انجام شود. در این آزمایش‌ها مهم‌ترین کاتیون‌های موجود در خاک، شامل  $\text{Na}^+$  و  $\text{K}^+$  و  $\text{Ca}^{2+}$  و  $\text{Mg}^{2+}$  تعیین شدند. در آزمایش‌های شیمیایی به مدت زمان الکترواسمزی با ولتاژ‌های متفاوت نیز توجه شد. جدول ۵ مشخصات شیمیایی خاک را قبل از بهسازی الکترواسمزی نشان می‌دهد.

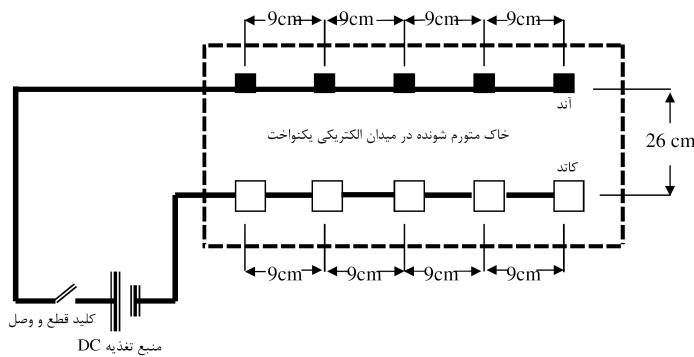
جدول ۵. مشخصات شیمیایی خاک مینا

pH	$\text{Na}^+$ (meg/lit)	$\text{K}^+$ (meg/lit)	$\text{Ca}^{2+}$ (meg/lit)	$\text{Mg}^{2+}$ (meg/lit)
۹,۲۲	۲۱,۷	۸,۷۲	۰,۱	۱,۴۴

پتانسیل تورم خاک‌ها بهشدت تحت تأثیر ترکیبات شیمیایی خاک‌هاست. هر چه میزان سدیم در خاک بیشتر باشد پتانسیل تورم خاک نیز بالاتر است. از طرفی وجود کلسیم باعث می‌شود خاک پتانسیل تورم پایین‌تری از خود نشان دهد. علت محاسبه مقدار کاتیون‌های  $\text{Na}^+$  و  $\text{K}^+$  و  $\text{Ca}^{2+}$  و  $\text{Mg}^{2+}$  این است که در حین فرایند بهسازی از میزان کاتیون‌های تک‌ظرفیتی کاسته و بر میزان کاتیون‌های چند‌ظرفیتی افزوده می‌شود. این نکته مؤید تغییرات پتانسیل تورم خاک است. زیرا



شکل ۵. نمایی از دستگاه الکترواسمزی نیمه‌صحرایی و چینش الکترودها



شکل ۶. نمای شماتیک شبکه خطی الکترودها در دستگاه الکترواسمزی

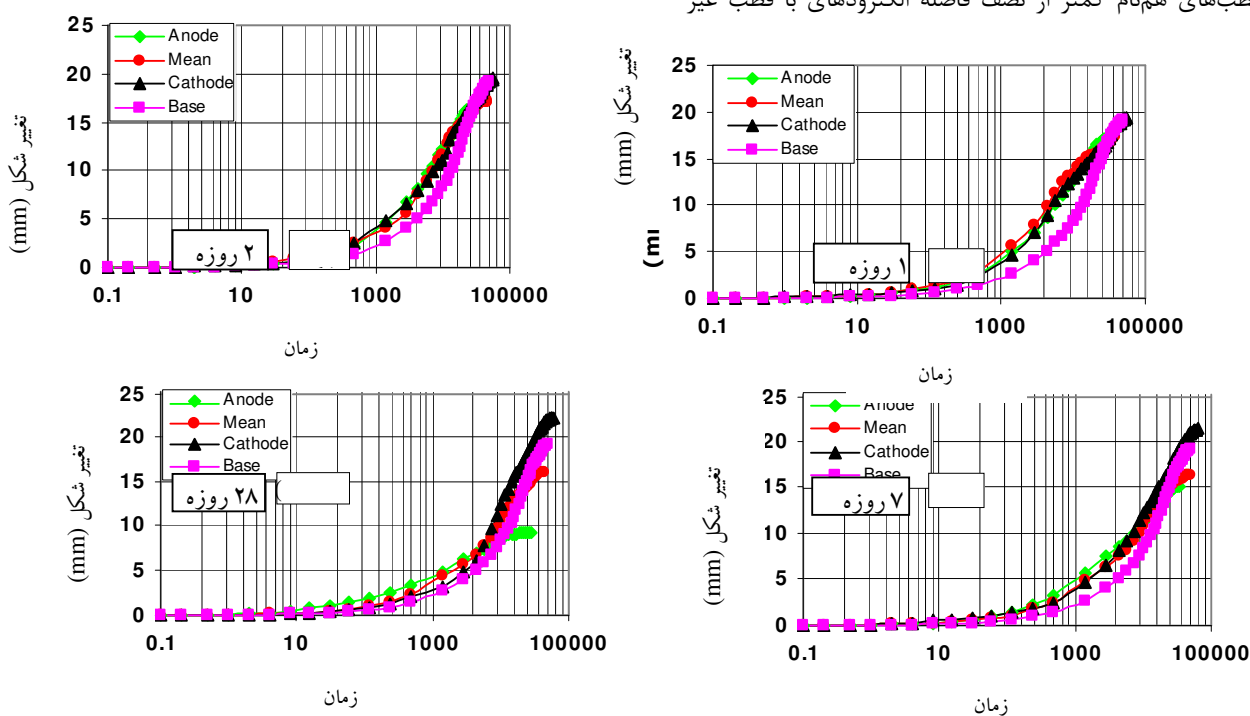
همنام باشد. همچنین الکتروودها باید کاملاً با خاک در تماس باشند (شکل‌های ۵ و ۶).

### یافته‌ها و بحث

برای بررسی تأثیر بهسازی الکترواسمزی، نمونه‌های دستنخورده جهت آزمایش‌های پتانسیل تورم و تکمحوری، به‌کمک نمونه‌گیر<sup>۱</sup> از سه ناحیه آند و کاتد و بین آند و کاتد نمونه‌برداری شد و آزمایش‌های مستقلی، از جمله تورم آزاد و مقاومت فشاری محصورنشده و شیمیایی، روی هر یک از نمونه‌ها انجام گرفت.

شکل ۷ نتایج تأثیر فرایند الکترواسمزی بر پتانسیل تورم خاک مورد مطالعه تحت ولتاژ ۱۲ ولت و زمان‌های اصلاحی ۱ و ۲ و ۲۸ روزه را نشان می‌دهد.

نمونه‌های استفاده شده در تست‌ها بر اساس وزن مخصوص حداکثر و درصد رطوبتی معادل ۵ درصد بالاتر از رطوبت بهینه آمده گردید. بدین منظور در هر مرحله ۱۲۱،۰۴۲ کیلوگرم خاک بنتونیت با رطوبت ۳۰ درصد کاملاً همگن گشت و برای عمل آوری به مدت ۲۴ ساعت درون محفظه‌های دربسته نگهداری شد. سپس نمونه خاک عمل آوری شده با استفاده از چکش آزمایش تراکم استاندارد طی درون قالب مخصوص آزمایش الکترواسمزی کوبیده شد. پس از آن، با تخلیه خاک محل الکتروودها، الکتروودها با فاصله‌هایی که بتوان بین آن‌ها میدان الکتریکی یکنواخت ایجاد کرد داخل خاک قرار داده شد. آن‌گاه، با اتصال شبکه الکتروودها به منبع تغذیه DC، خاک تحت یک میدان الکتریکی یکنواخت قرار گرفت. برای ایجاد میدان الکتریکی یکنواخت حتماً باید فاصله الکتروودها باقطبهای همنام کمتر از نصف فاصله الکتروودهای با قطب غیر



شکل ۷. نتایج تأثیر الکترواسمزی تحت ولتاژ ۱۲V و زمان‌های a-۱ روزه، b-۲ روزه، c-۲۸ روزه و d-۲۸ روزه بر پتانسیل تورم

پتانسیل تورم این نمونه در آند نسبت به نمونه خاک طبیعی در پایان روز بیست و هشتم بهسازی بهسازی به میزان ۹/۲۳۳ کاهاش نشان می‌دهد. بدین معنا که تحت ولتاژ ۱۲ ولت و پس از ۲۸ روز بهسازی تقریباً ۵۰/۵۴ درصد پتانسیل تورم در آند کاهاش می‌یابد که نشان‌دهنده همین مقدار اصلاح در آند است. بهطور کلی می‌توان درصد کاهاش پتانسیل تورم را برای هر یک از نمونه‌های بهسازی شده محاسبه کرد و آن را مانند آنچه در جدول ۶ می‌آید نشان داد.

جدول ۶ نتایج پتانسیل تورم بر پایه تورم آزاد را برای نمونه‌های بهسازی شده تحت ولتاژ ۱۲ و در زمان‌های ۱ و ۲ و ۲۸ روزه نشان می‌دهد. با افزایش زمان بهسازی مقدار پتانسیل تورم در آند و بین‌آند و کاتد کاهاش می‌یابد. ولی در کاتد نتیجه‌های معکوس دارد. بنابراین کمترین پتانسیل تورم در حوالی آند و پس از ۲۸ روز بهسازی اتفاق می‌افتد.

چون مقدار پتانسیل تورم در نمونه قبل از بهسازی به ۹/۰۳۴ و بعد از ۲۸ روز بهسازی در آند به ۱۸/۲۶۷ می‌رسد،

<sup>۱</sup> core catcher

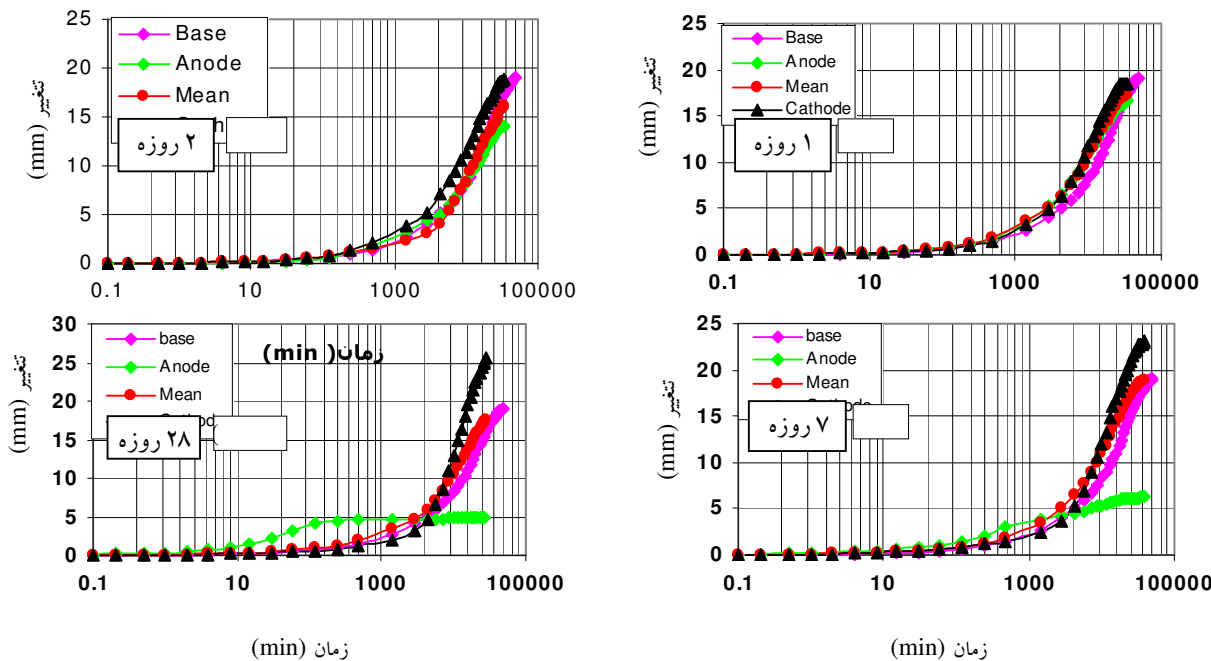
جدول ۶. پتانسیل تورم نمونه‌ها بعد از جریان الکترواسمزی در زمان‌های ۱، ۲، ۷ و ۲۸ روزه تحت ولتاژ ۱۲ ولت در آند و کاتد و بین آند و کاتد

زمان بهسازی	آند	بین آند و کاتد	کاتد	قبل از بهسازی	زمان بهسازی
۱۷/۹	۱۷/۳	۱۵/۸۲	۱	روزه	
۱۹/۱۲	۱۷/۰۹	۱۵/۳	۲	روزه	۲۴
۲۰/۴۲	۱۵/۶۲	۱۴/۷۶	۷	روزه	۷
۲۱/۷۲	۱۵/۰۹	۹/۰۳۴	۲۸	روزه	۲۸
۱۸/۲۶۷					

جدول ۷. درصد کاهش پتانسیل تورم نمونه‌ها بعد از جریان الکترواسمزی در زمان‌های ۱، ۲، ۷ و ۲۸ روزه تحت ولتاژ ۱۲ ولت در آند نسبت به نمونه قبل از بهسازی

زمان بهسازی	۱ روزه	۲ روزه	۷ روزه	۲۸ روزه	قبل از بهسازی
درصد کاهش پتانسیل	۱۲/۳۹	۱۶/۲۴	۱۹/۱۹	۵۰/۵۴	

تورم در آند



شکل ۸. نتایج تأثیر الکترواسمزی تحت ولتاژ ۲۴ ولت و زمان‌های a- ۱ روزه، b- ۲ روزه، c- ۷ روزه و d- ۲۸ روزه بر پتانسیل تورم

چون مقدار پتانسیل تورم نمونه قبل از بهسازی به ۱۸/۲۶۷ و بعد از ۷ و ۲۸ روز بهسازی در آند به ترتیب به ۰/۱۸ و ۰/۴۵۱ رسیده‌اند پتانسیل تورم این نمونه‌ها در آند نسبت به نمونه خاک طبیعی در پایان روز هفتم بهسازی در حدود ۱۲/۲۴۹ و در پایان روز بیست و هشتم بهسازی در حدود ۱۳/۷۵۷ کاهش نشان می‌دهد. بدین معنا که تحت ولتاژ ۲۴ ولت پس از ۷ روز بهسازی تقریباً ۶۷ درصد و پس از ۲۸ روز بهسازی تقریباً ۷۵ درصد پتانسیل تورم در حوالی آند کاهش می‌یابد. به طور کلی می‌توان درصد کاهش پتانسیل تورم را برای

شکل ۸ نتایج تأثیر فرایند الکترواسمزی بر پتانسیل تورم خاک مطالعه شده تحت ولتاژ ۲۴ ولت و زمان‌های اصلاحی ۱، ۲، ۷ و ۲۸ روزه با نمونه‌های گرفته شده از مجاورت آند و کاتد و بین آند و کاتد را نشان می‌دهد.

نتایج پتانسیل تورم بر پایه تورم آزاد برای نمونه‌های بهسازی شده تحت ولتاژ ۲۴ و در زمان‌های ۱ و ۲ و ۷ و ۲۸ روزه نشان می‌دهد که با افزایش زمان بهسازی مقدار پتانسیل تورم در آند و بینابین آند و کاتد کاهش می‌یابد (جدول ۸). پس کمترین پتانسیل تورم در حوالی آند و بعد از ۷ و ۲۸ روز بهسازی اتفاق می‌افتد.

در جدول ۱۰ می‌آید. با افزایش زمان بهسازی مقدار پتانسیل تورم در آند و بینابین آند و کاتد کاهش می‌یابد. پس کمترین پتانسیل تورم در حوالی آند و بعد از ۲، ۷ و ۲۸ روز بهسازی اتفاق می‌افتد.

هر یک از نمونه‌های بهسازی شده به صورت آنچه در جدول ۹ می‌آید محاسبه کرد و نشان داد.

نتایج پتانسیل تورم بر پایه تورم آزاد برای نمونه‌های بهسازی شده تحت ولتاژ ۴۸ و در زمان‌های ۱ و ۲ و ۷ و ۲۸ روزه

جدول ۸. پتانسیل تورم نمونه‌ها بعد از جریان الکترواسمزی در زمان‌های ۱، ۲، ۷ و ۲۸ روزه تحت ولتاژ ۲۴ ولت در آند و کاتد و بین آند و کاتد

زمان بهسازی	آند	بین آند و کاتد	کاتد	قبل از بهسازی
۱ روزه	۱۵,۸	۱۷,۰۲	۱۸,۰۲۵	
۲ روزه	۱۴,۰۱۶	۱۶,۱۷۶	۱۸,۸۴	
۷ روزه	۶,۰۱۸	۱۴,۳۴۶	۲۲,۱۹	
۲۸ روزه	۴,۵۱	۱۳,۹۴۶	۲۴,۲۸	
۱۸,۲۶۷				

جدول ۹. درصد کاهش پتانسیل تورم نمونه‌ها بعد از جریان الکترواسمزی در زمان‌های ۱ و ۲ و ۷ و ۲۸ روزه تحت ولتاژ ۲۴ ولت در آند نسبت به نمونه قبل از بهسازی

زمان بهسازی	۱ روزه	۲ روزه	۷ روزه	۲۸ روزه	قبل از بهسازی
درصد کاهش پتانسیل	۱۳,۵	۲۳,۲۷	۶۷,۰۵	۷۵,۳۱	.
تورم در آند					

جدول ۱۰. پتانسیل تورم نمونه‌ها بعد از جریان الکترواسمزی در زمان‌های ۱، ۲، ۷ و ۲۸ روزه تحت ولتاژ ۱۲ ولت در آند و کاتد و بین آند و کاتد

زمان بهسازی	آند	بین آند و کاتد	کاتد	قبل از بهسازی
۱ روزه	۱۳,۱۵۷	۱۶,۵۸	۱۸,۱۵	
۲ روزه	۱۰,۱۶۸	۱۳,۹۹۳	۲۱,۶۰۶	
۷ روزه	۵,۴۱۲	۱۳,۲۹۹	۲۷,۷۴	
۲۸ روزه	۳,۰۴۲	۱۲,۷۸۶	۲۹,۸۷۶	
۱۸,۲۶۷				

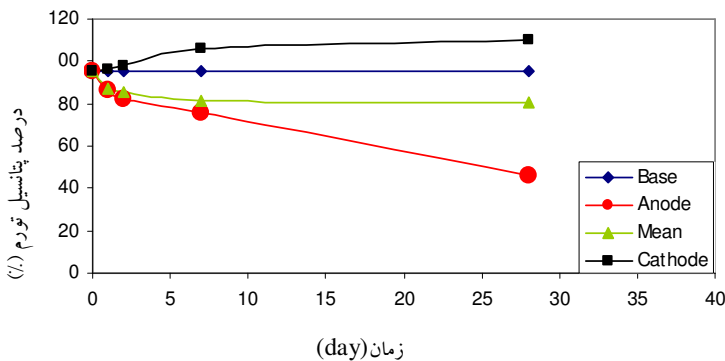
پتانسیل تورم در قطب کاتد (منفی) می‌شود. شکل‌های ۹ تا ۱۱ تأثیر زمان را در اصلاح خاک‌های متورم‌شونده به‌وسیله الکترواسمزی نشان می‌دهند. همان‌طور که مشاهده می‌شود با افزایش زمان اصلاح میزان پتانسیل تورم در آند و در بینابین نمونه به‌طور محسوسی کاهش و به موازات آن در قطب کاتد پتانسیل تورم افزایش می‌یابد. بدین معنا که فرایند الکترواسمزی قادر است نمونه‌های با پتانسیل تورم بالا را فقط در قطب آند و بین آند و کاتد اصلاح کند.

مقدار درصد کاهش پتانسیل تورم نمونه‌ها بعد از بهسازی تحت ولتاژ ۴۸ ولت در جدول ۱۱ می‌آید. پس بهترین نمونه بهسازی شده تحت ولتاژ ۴۸ ولت پس از ۲۸ روز بهسازی در حوالی آند وجود خواهد داشت و در این نمونه تقریباً ۸۳,۳ درصد پتانسیل تورم کاهش می‌یابد.

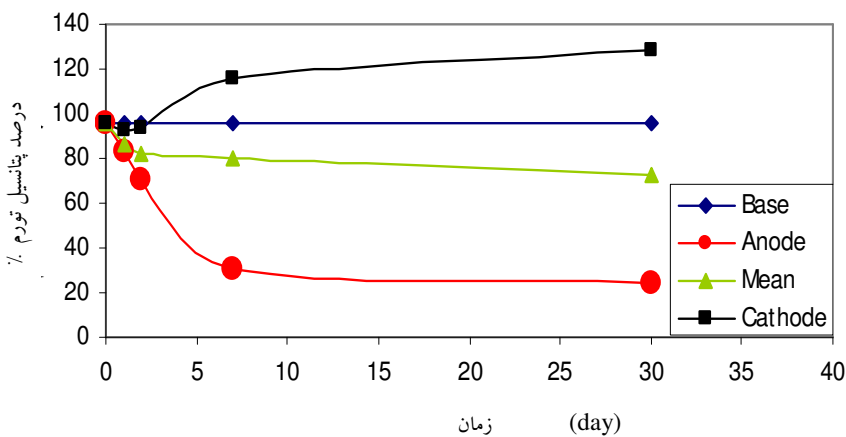
نتایج نشان می‌دهد اصولاً فرایند الکترواسمزی همراه کاهش پتانسیل تورم در قطب آند و تبیل نمونه‌ای با پتانسیل تورم‌پذیری بالا به نمونه‌ای با پتانسیل تورم‌پذیری کم در قطب مثبت و بینابین سبب تغییرات کم و حتی در مواردی افزایش

جدول ۱۱. درصد کاهش پتانسیل تورم نمونه‌ها بعد از جریان الکترواسمزی در زمان‌های ۱، ۲، ۷ و ۲۸ روزه تحت ولتاژ ۴۸ ولت در آند نسبت به نمونه قبل از بهسازی

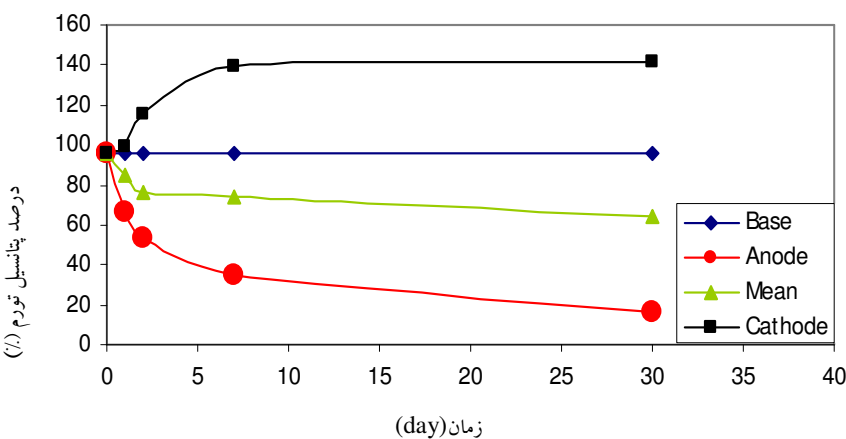
زمان بهسازی	۱ روزه	۲ روزه	۷ روزه	۲۸ روزه	قبل از بهسازی
درصد کاهش پتانسیل تورم در آند	۲۷,۹۷	۴۴,۳۳	۷۰,۳۷	۸۳,۳۴	.



شکل ۹. درصد پتانسیل تورم پس از اصلاح الکترواسمزی در زمان های ۱ تا ۲۸ روزه تحت ولتاژ ۱۲



شکل ۱۰. درصد پتانسیل تورم پس از اصلاح الکترواسمزی در زمان های ۱ تا ۲۸ روزه تحت ولتاژ ۲۴



شکل ۱۱. درصد پتانسیل تورم پس از اصلاح الکترواسمزی در زمان های ۱ تا ۲۸ روزه تحت ولتاژ ۴۸

۲۴ ولت دارد.

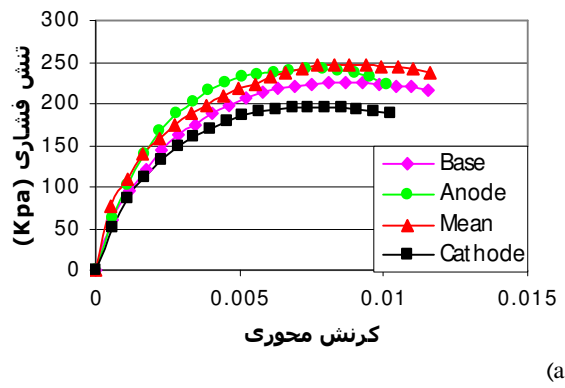
شکل های ۹ تا ۱۱ نشان می دهند با افزایش ولتاژ و افزایش زمان اصلاح از میزان پتانسیل تورم خاک کاسته می شود. با توجه به پیشنهاد USBR، مبنی بر اینکه اگر پتانسیل تورم خاک کمتر از ۱۰ باشد آن خاک در دسته خاکهای با تورم بسیار پایین قرار می گیرد، می توان اظهار کرد ۵ نمونه این

شیب منحنی تغییرات زمان در مقابل درصد پتانسیل تورم روند پرشتاب تغییرات طی هفت روز اول اصلاح را نشان می دهد؛ به نحوی که مقادیر پتانسیل تورم برای زمان های ۷ و ۲۸ روزه در قطب آند بسیار به هم نزدیک است. نتیجه مهم چنین واقعیتی حکایت از کفایت زمان اصلاح ۷ روزه برای خاکهای با پتانسیل تورم بالا در حوالی آند و تحت تأثیر ولتاژ

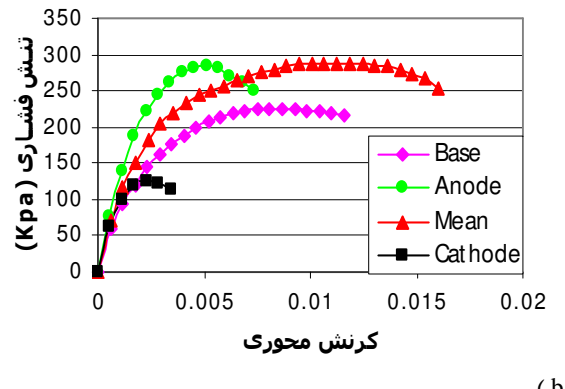
در پی این اتفاق، مهمترین کاتیون‌های موجود در خاک نظری  $\text{Na}^+$  از قطب مثبت به سمت قطب منفی حرکت می‌کند. این امر سبب کاهش پتانسیل تورمی خاک در حوالی آند و افزایش آن در حوالی کاتد می‌شود.

شکل‌های ۱۳ تا ۱۵ تأثیرات مقاومت فشاری محصورنشده خاک را در اثر اعمال فرایند الکترواسمزی در زمان‌های اصلاحی مختلف نشان می‌دهند. ضمناً به علت بهینه‌بودن ولتاژ ۲۴ ولت از نمودارهای بهدست‌آمده تحت ولتاژهای ۱۲ و ۲۴ ولت صرف‌نظر شده است.

گراف‌ها نشان می‌دهند تغییرات مقاومت تکمحوری با زمان برقراری جریان الکترواسمزی وابستگی زیادی دارند؛ به نحوی که روند تغییرات مقاومت تکمحوری با زمان الکترواسمزی ۷ تا ۲۸ روزه در آند از سطح بالایی برخوردار است و عدمه تغییرات در مقاومت تکمحوری نیز در همین بازه زمانی به وجود می‌آید و این مسئله می‌تواند مثالی از یک واکنش پوزولانی باشد که تأثیر آن در درازمدت مشاهده می‌شود. ولی عدمه تغییرات مقاومت تکمحوری بین آند و کاتد ۷ روز اولیه پس از برقراری جریان الکتریکی است. این واقعیت را می‌توان به گرمای هیدراسیون بیشتر تولیدشده در روزهای اولیه برای نمونه‌های بهسازی شده ارتباط داد؛ به طوری که بعضًا دمای خاک در حین انجام گرفتن آزمایش به ۵۱ درجه سانتی‌گراد می‌رسید.



(a)



(b)

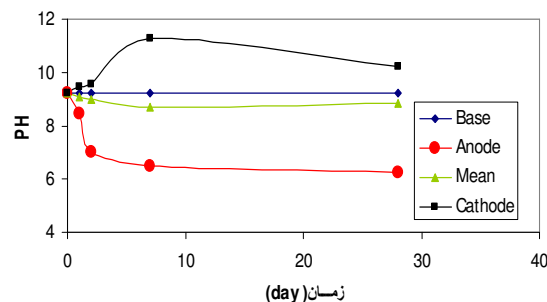
شکل ۱۳. نتایج تأثیر الکترواسمزی تحت ولتاژ ۲۴ و زمان‌های ۱ تا ۲۸ روزه - a - ارزش و - b - روزه بر مقاومت فشاری محصورنشده

تحقیق به نحو مناسبی اصلاح و بهسازی شده‌اند که عبارت‌اند از:

۱. نمونه اصلاح شده با ولتاژ ۱۲ ولت و زمان اصلاح ۲۸ روزه؛
  ۲. نمونه اصلاح شده با ولتاژ ۲۴ ولت و زمان اصلاح ۷ روزه؛
  ۳. نمونه اصلاح شده با ولتاژ ۲۴ ولت و زمان اصلاح ۲۸ روزه؛
  ۴. نمونه اصلاح شده با ولتاژ ۴۸ ولت و زمان اصلاح ۷ روزه؛
  ۵. نمونه اصلاح شده با ولتاژ ۴۸ ولت و زمان اصلاح ۲۸ روزه.
- همان‌طور که مشاهده می‌شود برای ولتاژهای ۲۴ ولت و ۴۸ ولت زمان اصلاح ۷ روزه بهینه است؛ در حالی که برای ولتاژ ۱۲ روند تغییرات تا زمان ۲۸ روزه با شبیه یکنواخت نیز ادامه پیدا می‌کند و در این ولتاژ یگانه نمونه‌ای که در طبقه خاک‌های با درصد تورم پایین قرار می‌گیرد نمونه‌ای است که در مدت زمان ۲۸ روز تحت ولتاژ الکترواسمزی قرار گرفته است. گفتنی است با توجه به پتانسیل تورم ثبت شده پتانسیل تورم همه نمونه‌ها نسبت به پتانسیل تورم نمونه طبیعی کمتر است.

نتایج نشان می‌دهد اقتصادی‌ترین نتیجه ۷ روز بهسازی تحت ولتاژ ۲۴ ولت کاملاً بهینه است؛ به نحوی که تغییرات کمی در پتانسیل تورم برای نمونه ۷ و ۲۸ روزه ثبت شده است.

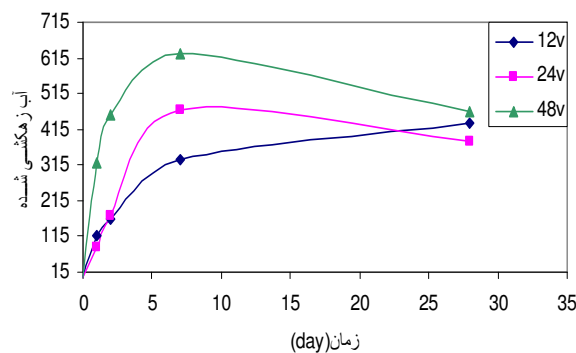
برای آگاهی از نوع برهمکنش خاک در اثر اعمال ولتاژ مستقیم بر آن آزمایش شیمیایی تعیین PH در زمان‌های مختلف اصلاح و در حوالی کاتد و آند و بینابین نمونه‌ها انجام شد. شکل ۱۲ تغییرات PH نمونه‌های تحت ولتاژ ۲۴ ولت را بررسی می‌کند.



شکل ۱۲. نتایج PH خاک آزمایش شده پس از اصلاح الکترواسمزی تحت ولتاژ ۲۴ ولت در زمان‌های ۱ تا ۲۸ روزه در آند و کاتد و بین آند و کاتد

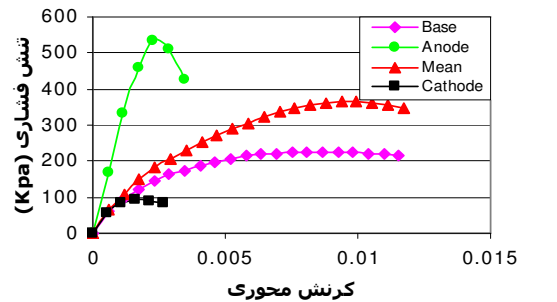
به موازات تغییرات پتانسیل تورم، PH نمونه نیز تغییر می‌کند. بر اساس شکل ۱۲ در حوالی آند (قطب مثبت) با گذشت زمان PH نمونه‌ها کاهش می‌یابد، ضمن آنکه روند تغییرات پارامتر مذکور تا زمان اصلاح ۷ روزه محسوس‌تر است؛ در حالی که در حوالی کاتد PH نمونه‌ها با گذشت زمان اصلاح افزایش می‌یابد. در یک جمع‌بندی کلی می‌توان گفت، با کاهش پتانسیل تورم‌پذیری، PH خاک نیز کاهش پیدا می‌کند. مهم‌ترین دلیل این واقعیت حرکت آب منفذی از قطب آند به سمت قطب کاتد در اثر ایجاد میدان الکتریکی اعمال شده است.

با بررسی منحنی‌های مقاومت فشاری محصور نشده چنین استنباط می‌شود که بهسازی الکترواسمزی با گذشت زمان اصلاح سبب افزایش قابل ملاحظه مقاومت تکمحوری خاک مورد مطالعه در حوالی آند می‌گردد؛ به نحوی که پس از ۷ روز مقاومت خاک نسبت به نمونه اولیه ۲۳۹ برابر و پس از ۲۸ روز ۵/۸۷ برابر افزایش نشان می‌دهد. این موضوع مناسب بودن مقدار ولتاژ ۲۴ ولت را بر نمونه مطالعه شده نشان می‌دهد. زیرا تحقیقات پیشینیان نشان می‌دهد در صورتی که ولتاژ اعمالی بر نمونه خاک بیشتر از حد بهینه باشد سبب ترک خوردگی خاک می‌شود.

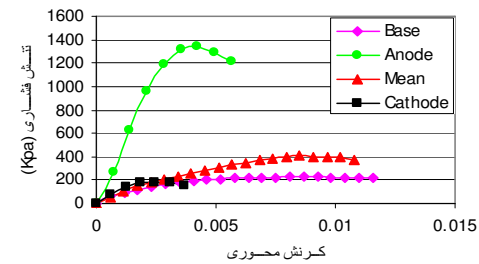


شکل ۱۶. نمودار تغییرات آب حفره‌ای خروجی، زمان پس از ۱ و ۲ و ۷ و ۲۸ و ۴۸۷ و ۱۲۷ و ۲۴۷ روز بهسازی الکترواسمزی تحت ولتاژ ۱۲۷ و ۲۴۷ و ۴۸۷

شکل ۱۶ نتایج مقدار آب زهکش شده را حین فرایند بهسازی تحت ولتاژها و زمان‌های اصلاحی متفاوت نشان می‌دهد. همان‌طور که مشاهده می‌شود با افزایش ولتاژ و افزایش زمان اصلاحی تا ۷ روز مقدار آب منفذی زهکش شده افزایش می‌یابد؛ ضمن آنکه برای زمان اصلاح بیش از ۷ روز از میزان آب زهکش شده مقداری کم می‌شود. علت این موضوع را می‌توان به پدیده‌هایی نظیر تبخیر سطحی، ایجاد ترک خوردگی، یونیزه‌شدن الکترودهای آند، و به طور کلی کاهش دانسیته جریان نسبت داد.

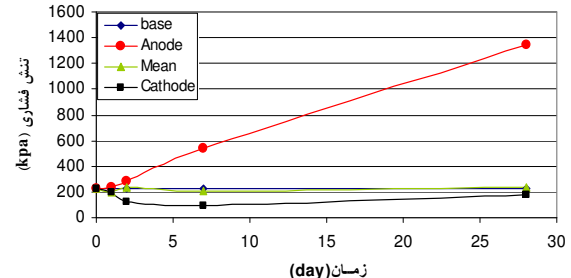


(a)



(b)

شکل ۱۴. نتایج تأثیر الکترواسمزی تحت ولتاژ ۲۴ و زمان‌های a - ۷ روزه و b - ۸ روزه بر مقاومت فشاری محصور نشده



شکل ۱۵. مقاومت فشاری محصور نشده پس از اصلاح الکترواسمزی در زمان‌های ۱ تا ۲۸ روزه تحت ولتاژ ۲۴

جدول ۱۲ نتایج طبقه‌بندی از لحاظ مقاومتی بر مبنای نتایج آزمایش تکمحوری در زمان‌های متفاوت تحت اختلاف پتانسیل ۲۴ ولت، پس از جریان الکترواسمزی برای نمونه‌های پراداشته شده از نواحی آند و کاتد و بین آند و کاتد را نشان می‌دهد.

جدول ۱۲. مقاومت فشاری محصور نشده نمونه‌ها بعد از جریان الکترواسمزی تحت ولتاژ ۲۴ ولت در حوالی آند و کاتد و بین آند و کاتد

نمونه	نمونه ۱ روزه	نمونه ۲ روزه	نمونه ۷ روزه	نمونه ۲۸ روزه	نمونه آند	اصلاح نشده	مقادیر (kPa)
۲۴۱	۲۴۵	۲۸۳ ۱۹۵	۳۶۶	۵۳۶ ۱۲۶	۱۳۴۱ ۹۴	۴۰۲	۲۲۴
۱۷۸	۲۸۸	۲۸۸	۳۶۶	۵۳۶ ۱۲۶	۱۳۴۱ ۹۴	۴۰۲	۷۷۸

پروژه‌هایی نظیر کانال‌های آبیاری و سدهای خاکی و پی‌سازه‌ها، می‌توان بر ضرورت اصلاح این‌گونه خاک‌ها تأکید کرد. بهسازی الکترواسمزی روشی مدرن جهت اصلاح خاک‌های متورم شونده است. با مطالعه نتایج این تحقیق می‌توان گفت:

نتیجه‌گیری در یک جمع‌بندی کلی، ضمن اشاره به اهمیت شناخت خاک‌های متورم شونده، بهدلیل گستره وسیع آن‌ها و از حیث مشکلات ژئوتکنیکی به وجود آورده برای اینیه‌ها و خاکریزها، در

۴. زمان بهینه در اصلاح خاک متورم‌شونده با روش الکترواسمزی ۷ روز است؛
۵. به طور کلی بین نمونه‌های بهسازی‌شده با ولتاژ‌های ۱۲۷ و ۲۴۷ و ۴۸۷ نمونه اصلاح شده پس از ۲۸ روز در آند و بین آند و کاتد و همچنین در کاتد بعد از ۱ روز بهسازی دارای کمترین پتانسیل تورم‌آند؛
۶. به دلیل آنکه نرخ کاهش پتانسیل تورم نمونه بهسازی‌شده در ولتاژ‌های ۲۴۷ و ۴۸۷ پس از ۷ روز بهسازی کند می‌شود، بهترین نتیجه در زمان ۷ روز و با ولتاژ ۲۴ ولت است.

## REFERENCES

- Acar, Y. B. (1992). "Electro Kinetic Soil Processing", ASCE Geotechnical Publication: No. 30, 1420-1432.
- Askari, F. and Fakher, A. (1994). "Swelling and dispersivity of from geotechnical engineering view", Jahad Daneshgahi, Tehran Publication, (in Farsi).
- Bjerram, L., Moum, J., and Eide, O. (1967). "Application of Electro-osmosis to a Foundation Problem in a Norwegian Quick Clay", Geotechnique, 17 (3), 214-235.
- Burnotte, F., Lefebvre, G., and Grondin, G. (2004). "A Case Record of electroosmotic consolidation of clay with improved soil-electrde contact" Can, Geotech. J. 41: 1038-1053.
- Cassagrande, L. (1947). "The Application of Electro-Osmosis to Practical Problem in Foundations an Earth Work", Department of Scientific and Industrial Research, Building Research, London, England, Technical Paper, No.30, 22 p.
- Chen, F. H. (1975). "Foundation on expansive soil", scientific publishing company.
- Cundy, A., Hopkinson, L., and Faulkner, D. (2005). "Ferric Iron Re-mediation and Stabilisation", Environmental Chemistry Group Bulletin.
- Das, B. M. (1984). "Prineipales of foundation Ingineering", PWS-Kem Publishing Company, Boston, USA.
- Mitchell, J. K. (2005). "Fundamentals of soil behavior", 3<sup>rd</sup> ed. John Wiley & Sons, New York.
- Morris, D. V., Hillis, S. F., and Caldwell, J. A. (1985). "Improvement of Sensitive Silty clay Electroosmosis", Canadian Geotechnical Journal, 22 (1), 17-24.
- Ou, C-Y., Chien, S-C., and Chang, H-H. (2009). "Soil imrpovement using electroosmosis with the injection of chemical solutions: field tests ", Can. Geotech. J. 46: 727-733.